



Revista Brasileira de Ciência do Solo

ISSN: 0100-0683

revista@sbccs.org.br

Sociedade Brasileira de Ciência do Solo

Brasil

Beutler, Amauri Nelson; Centurion, José Frederico; Pessoa da Cruz Centurion, Maria Aparecida;
Luarte Leonel, Cristiam; Gomes São João, Andréia de Cássia; Silva Freddi, Onã da
INTERVALO HÍDRICO ÓTIMO NO MONITORAMENTO DA COMPACTAÇÃO E DA QUALIDADE

FÍSICA DE UM LATOSSOLO VERMELHO CULTIVADO COM SOJA

Revista Brasileira de Ciência do Solo, vol. 31, núm. 6, 2007, pp. 1223-1232

Sociedade Brasileira de Ciência do Solo

Viçosa, Brasil

Disponível em: <http://www.redalyc.org/articulo.oa?id=180214061001>

- ▶ Como citar este artigo
- ▶ Número completo
- ▶ Mais artigos
- ▶ Home da revista no Redalyc

redalyc.org

Sistema de Informação Científica

Rede de Revistas Científicas da América Latina, Caribe, Espanha e Portugal
Projeto acadêmico sem fins lucrativos desenvolvido no âmbito da iniciativa Acesso Aberto

SEÇÃO I - FÍSICA DO SOLO

INTERVALO HÍDRICO ÓTIMO NO MONITORAMENTO COMPACTAÇÃO E DA QUALIDADE FÍSICA DE UM LATOSOLO VERMELHO CULTIVADO COM SOJA⁽¹⁾

Amauri Nelson Beutler⁽²⁾, José Frederico Centurion⁽³⁾, Maria Aparecida Pessoa da Cruz Centurion⁽⁴⁾, Cristiam Luarte Leonel⁽⁵⁾, Andréia de Cássia Gomes São João⁽⁵⁾ & Oná da Silva Freddi⁽⁵⁾

RESUMO

A qualidade física do solo é essencial ao crescimento das plantas e à sustentabilidade dos sistemas agrícolas. O objetivo deste estudo foi avaliar a eficiência do intervalo hídrico ótimo (IHO) no monitoramento da compactação e qualidade física do solo para soja em cultivo de sequeiro e irrigado. O experimento foi realizado em Latossolo Vermelho eutroférico ($21^{\circ} 14' 53'' S$; $48^{\circ} 17' 20'' W$; 540 m de altitude). O delineamento experimental foi inteiramente casualizado em esquema fatorial 6×2 , com quatro repetições. Os tratamentos de compactação foram: T_1 = sem compactação; T_2 = 1 passada de trator de 4 t; T_3 = 1; T_4 = 2; T_5 = 4; e T_6 = 6 passadas de um trator de 11 t, no mesmo local. Foi semeada a soja (*Glycine max* (L.) Merrill), cultivar IAC Foscarim 31. Foram coletadas amostras indeformadas de solo nas camadas de 3-6, 8-11, 15-18 e 22-25 cm, para determinação dos atributos físicos. Na colheita, foi avaliada a produtividade de soja em microparcela de $3,37 m^2$. No cultivo de soja sequeiro e irrigado, a produtividade diminui a partir da resistência à penetração (RP) de 1,30 e 1,64 MPa e da densidade do solo (Ds) de 1,26 e $1,29 kg\ dm^{-3}$, com perdas de 19,15 e 11,71 % no maior nível de compactação (RP = 2,84 MPa; Ds = $1,45 kg\ dm^{-3}$), respectivamente. O IHO foi reduzido pela RP até atingir a $Dsc_{(IHO = 0)}$ de 1,33 e $1,38 kg\ dm^{-3}$, no cultivo de soja sequeiro e irrigado. O IHO é adequado no monitoramento da compactação e da

⁽¹⁾ Recebido para publicação em novembro de 2006 e aprovado em setembro de 2007.

⁽²⁾ Professor do Centro de Ciências Agrárias, Universidade Federal de Santa Maria – UFSM/UNIPAMPA. Rua E

nha 1288, Centro, CEP 97650000 Itaqui (RS). E-mail: amaurib@yahoo.com.br

⁽³⁾ Professor do Departamento de Solos e Adubos da Faculdade de Ciências Agrárias e Veterinárias – UNESP. Via de

Paulo Donato Castellane s/n, CEP 14884-900 Jaboticabal (SP). E-mail: jfcenur@fcav.unesp.br

⁽⁴⁾ Professor do Departamento de Produção Vegetal da Faculdade de Ciências Agrárias e Veterinárias – UNESP.

qualidade física do solo para soja, quando sua aplicação é realizada com base no valor de resistência à penetração limitante e no valor de densidade crítica do solo (IHO = 0). A soja em cultivo irrigado tolera maior compactação.

Termos de indexação: tráfego de máquinas, qualidade do solo, conteúdo de água, *Glycine max* (L.) Merrill.

SUMMARY: LEAST LIMITING WATER RANGE TO EVALUATE SOIL COMPACTION AND PHYSICAL QUALITY OF AN OXISOL CULTIVATED WITH SOYBEAN

*Soil physical quality is essential for plant growth and sustainable agricultural systems. This study aimed to evaluate the efficiency of the least limiting water range (LLWR) to monitor soil compaction and soil physical quality for soybean, without and with irrigation. The study was carried out in an clayey Red Latosol (Oxisol) (21° 14' 53" S; 48° 17' 20" W; 540 m asl). The experiment was entirely randomized, in a 6 x 2 factorial scheme, with four repetitions. The compaction treatments were: T₁ = without compaction; T₂ = 1 pass of a 4 t tractor; T₃ = 1, T₄ = 2, T₅ = 4 and T₆ = 6 passes of an 11 t tractor over the same track. Soybean (*Glycine max* (L.) Merrill), cultivar IAC Foscarim 31 was planted. Undisturbed soil samples were collected in the layers 3–6, 8–11, 15–18 and 22–25 cm to determine soil physical attributes. In the harvest soybean yield was evaluated in 3.37 m² microplots. Soybean yield, cultivated without and with irrigation, dropped when penetration resistance increased from 1.30 to 1.64 MPa and bulk density from 1.26 to 1.29 kg dm⁻³, with yield losses of 19.15 and 11.71% at the highest compaction level (RP = 2.84 MPa; Ds = 1.45 kg dm⁻³), respectively. The LLWR was reduced by RP until reaching critical soil bulk density ($Dsc_{(IHO=0)}$) of 1.33 and 1.38 kg dm⁻³, in non-irrigated and irrigated soybean. LLWR is an adequate indicator of soil compaction and physical quality for soybean when applied based on the critical bulk density value $Dsc_{(LLWR=0)}$. Irrigated soybean is more tolerant to compaction.*

Index terms: Glycine max (L.) Merrill, machinery traffic, soil quality, water content.

INTRODUÇÃO

A soja é a principal cultura de grãos do Brasil, sendo cultivada em todos Estados, de norte a sul. A sua cadeia produtiva é responsável por um terço do agronegócio do País, que é o segundo maior produtor e exportador mundial de grãos dessa oleaginosa e responde por 25 % da produção mundial, precedido apenas pelos Estados Unidos (Agrianual, 2006).

No Brasil, o cultivo da soja é realizado principalmente por meio do sistema de semeadura direta, que cresce anualmente e que foi consolidado como um modelo de agricultura sustentável. Esse sistema caracteriza-se por revolvimento do solo apenas no sulco de semeadura, rotação de culturas e manutenção de restos culturais na superfície. Devido à ausência de preparo do solo antes da semeadura, ocorre gradual aumento da compactação com o passar dos anos, até atingir níveis prejudiciais ao crescimento

para culturas anuais, principalmente até profundidade (Cardoso et al., 2006). Para quantificação e monitoramento da compactação, visando manter a qualidade física do solo e de uso sustentável dos sistemas agrícolas, é utilizado vários atributos físicos, entre os quais infiltração de água, retenção de água, porosidade, densidade do solo (Ds) e resistência à penetração. Muitos estudos foram realizados para estabelecer relações isoladas desses atributos com a produtividade das plantas, porém pequeno avanço tem sido feito.

Letey (1985) sugeriu que o crescimento das plantas está diretamente relacionado a quatro fatores: água, aeração, resistência do solo à penetração e temperatura. Com base nisso, Silva et al. (1996) desenvolveram o “Least Limiting Water Range” (LLWR), traduzido como intervalo hídrico ótimo (LHO). Esse intervalo integra os três primeiros atributos em função da resistência à penetração. O limite superior do LHO é a menor val-

INTERVALO HÍDRICO ÓTIMO NO MONITORAMENTO DA COMPACTAÇÃO E DA QUALIDADE..

capacidade de campo, tensão de 0,01 MPa (Reichardt, 1988); e o limite inferior é o maior valor entre o conteúdo de água no ponto de murcha permanente, 1,50 MPa (Savage et al., 1996), e o conteúdo de água em que a RP limita severamente o crescimento das raízes (2,0 MPa) (Taylor et al., 1966).

O IHO tem sido utilizado e proposto por vários pesquisadores como índice adequado para avaliação da qualidade física do solo (Leão et al., 2006). Contudo, Benjamim et al. (2003) não encontraram relações da amplitude do IHO com a produtividade de milho e de trigo. Por sua vez, todos mencionam sua importância na tomada de decisões sobre o manejo do solo. Entretanto, um indicador de qualidade física, como tem sido proposto o IHO (Silva et al., 1994; Benjamim et al., 2003; Lapen et al., 2004), deve ser acessível, aplicável no campo e permitir a obtenção de valores de referência que possam ser quantificados e adotados como aceitáveis ou limitantes às plantas (Doran & Parkin, 1994).

Nesse contexto, a outra forma de uso do IHO é a utilização da densidade do solo crítica ($Dsc_{(IHO=0)}$), visto que o estimador do IHO é a Ds , como condição a partir da qual ocorrem restrições severas ao crescimento das plantas. Dessa forma, os valores de Ds podem ser determinados no campo, rotineiramente, a baixo custo e comparados com a $Dsc_{(IHO=0)}$, permitindo o acesso à atual qualidade física do solo para o crescimento das plantas e a tomada de decisões sobre o manejo do solo (Reichert et al., 2003). Beutler et al. (2005) estabeleceram essa relação funcional, determinando o valor de RP a partir do qual a produtividade de soja começou a decrescer, e inseriram na modelagem do IHO. Estes autores verificaram que a $Dsc_{(IHO=0)}$ foi de $1,48 \text{ kg dm}^{-3}$, equivalente à Ds a partir da qual ocorreu decréscimo da produtividade.

O objetivo deste estudo foi avaliar a eficiência do intervalo hídrico ótimo no monitoramento da compactação e da qualidade física do solo para soja em cultivo de sequeiro e irrigado.

MATERIAL E MÉTODOS

O experimento foi realizado no ano agrícola 2005/06, em Jaboticabal, SP ($21^{\circ}14'53''\text{S}$; $48^{\circ}17'20''\text{W}$; 540 m de altitude). O clima, segundo a classificação

de Köppen, é mesotérmico de inverno seco. Utilizou-se um Latossolo Vermelho eutroférico, textura muito argilosa, horizonte A moderado. A composição granulométrica foi determinada da dispersão com NaOH (0,1 mol L⁻¹), com agitação lenta durante 16 h (30 rpm), e o conteúdo de argila obtido pelo método da pipeta. As características granulométrica e química do solo na camada 0–20 cm são apresentadas no quadro 1.

Esquema fatorial 6 x 2 (seis níveis de compactação e cultivo de sequeiro e irrigado), distribuído em delineamento experimental inteiramente casualizado, com quatro repetições representadas por plots de 9,0 m², com área útil de 3,37 m².

Em novembro de 2005, o solo foi escarificado a 30 cm de profundidade e foram realizados os tratamentos de compactação: (1) sem trator e máquinas adicional (T_1); (2) uma ação da outra, perfazendo toda a passada de trator (T_2); (3) uma ação do solo, no sentido do declive da área, no sentido da passada (T_3); (4) duas passadas (T_4); (5) três passadas (T_5); e (6) seis passadas de trator (T_6) no mesmo local, com dois eixos e quatro pneus de mesma largura e pressão interna, perfazendo toda a área. Utilizou-se uma seadeadora planificadora com cinco linhas, equipada com sulcador e descompactador, para cobrir as sementes. Após 10 dias realizou-se a semeadura, deixando 20 plantas por metro.

No dia 29 de novembro de 2005, as sementes de soja (*Glycine max* (L.) Merrill) cultivadas em Foscarim 31, de ciclo precoce (120 dias), receberam inóculos de *Bradyrhizobium japonicum* e foram semeadas na profundidade de 5 cm e no espaço de 45 cm entre linhas, no sentido transversal da área. Utilizou-se uma seadeadora planificadora com cinco linhas, equipada com sulcador e descompactador, para cobrir as sementes. Após 10 dias realizou-se a semeadura, deixando 20 plantas por metro.

A adubação foi de 50 kg ha⁻¹ de sulfato de amônio, 120 kg ha⁻¹ de superfosfato triplo e 80 kg ha⁻¹ de potássio, na semeadura, para obter a produtividade esperada de soja de 3,5 a 4 t ha⁻¹, segundo recomendação de Raij et al. (1996).

No sistema de cultivo irrigado, foram realizadas quatro irrigações de 20 mm, por aspersão, com tensão da água atingiu 0,06 a 0,3 MPa, sendo a segunda quinzena de janeiro, quando ocorreu a estiagem mais pronunciada (24 dias sem precipitação). Realizou-se o monitoramento diário do consumo

Quadro 1. Caracterização granulométrica e química do Latossolo Vermelho eutroférico na camada 0,0–0,20 m

Argila	Silte	Areia	pH CaCl ₂	Matéria orgânica	Presina	K ⁺	Ca ²⁺	Mg ²⁺
--------	-------	-------	----------------------	------------------	---------	----------------	------------------	------------------

água por meio de coleta de amostras de solo na camada de 0–20 cm e secagem em estufa a $\pm 105^{\circ}\text{C}$, nos cultivos de sequeiro e irrigado (Figura 1). Na colheita, foi avaliada a produtividade de soja em microparcela de 3,37 m², e a umidade, corrigida a 12 %.

Em janeiro de 2006, foram coletados dois grupos de seis amostras, por tratamento, com cilindros de 3 cm de altura e 4,8 cm de diâmetro, nas camadas de 3–6, 8–11, 15–18 e 22–25 cm. Em seguida, uma amostra de cada grupo e camada foi saturada durante 24 h e submetida a uma das tensões de 0,006; 0,010; 0,033; 0,060; 0,100; e 0,300 MPa, em câmaras de Richards. Ao atingirem o equilíbrio, foram pesadas e foi determinada a resistência do solo à penetração (RP), com duas subdeterminações por amostra, na camada intermediária do cilindro, perfazendo 100 leituras por determinação, utilizadas para obtenção da RP média. A RP foi determinada com o penetrômetro eletrônico, com semi-ângulo do cone de 30°, velocidade de penetração de 1 cm min⁻¹ e cone com área da base de 4,79 mm².

Na sequência, as amostras foram secas em estufa a $\pm 105^{\circ}\text{C}$, para determinação do conteúdo de água em cada tensão e da densidade do solo (Ds). A microporosidade foi obtida no conteúdo de água retido na tensão de 6 kPa (poros < 50 μm), e a macroporosidade (poros > 50 μm), pela diferença entre a porosidade total e a microporosidade.

Para determinação do intervalo hídrico ótimo (IHO), a curva de retenção de água no solo foi ajustada utilizando o modelo não-linear empregado por Silva et al. (1994), e a curva de RP foi ajustada pelo modelo proposto por Busscher (1990), na forma log-transformada, empregando o SAS (SAS Institute, 1998):

$$\ln\theta = a + bDs + c\ln\Psi \quad (1)$$

$$\ln RP = lnd + eln\theta + flnDs \quad (2)$$

em que θ : conteúdo volumétrico de água (m³ m⁻³); Ds : densidade do solo (t m⁻³); Ψ : tensão de água (hPa); RP: resistência do solo à penetração (MPa); b, c, d, e, f: parâmetros dos ajustes dos modelos.

O conteúdo de água na capacidade de campo é equivalente à tensão de 100 hPa e o ponto de inflexão permanente de 15.000 hPa, θ_{CC} e θ_{PMP} respectivamente, estimados pelas equações (3) e (4), respectivamente, obtidas da equação (1):

$$\theta_{CC} = \exp(a + bDs) * 100^c$$

$$\theta_{PMP} = \exp(a + bDs) * 15.000^c$$

O conteúdo de água a partir do qual a produtividade limitante foi estimado pela equação (5), é obtido da equação (2):

$$\theta_{RP} = RP_{(crit.)} / (e(d) * (Ds^e))^{1/f}$$

em que $RP_{(crit.)}$ é o valor de RP, determinado a partir da tensão de inflexão permanente, a partir do qual a produtividade de soja (sem irrigação) decresceu, no campo.

O conteúdo de água em que a porosidade é de 10 % foi calculado pela equação:

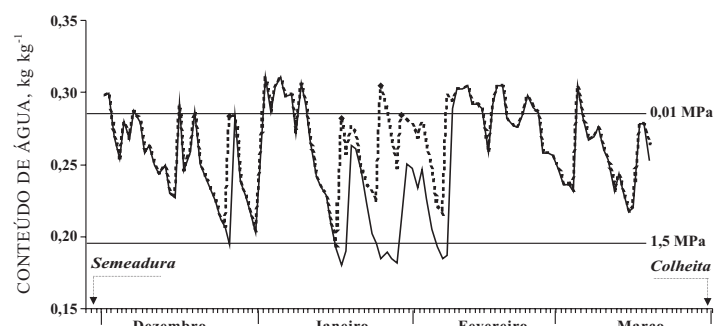
$$\theta_{PA} = (1 - (Ds/Dp)) - 0,10$$

em que Dp é a densidade de partículas

$$(2,65 \text{ kg dm}^{-3})$$

Finalmente, θ_{PA} , θ_{CC} , θ_{PMP} e θ_{RP} foram plotados em função da Ds, formando o IHO, representado por quatro camadas, visto que ele foi equivalente a elas.

Os resultados foram submetidos à análise de variância, utilizando o teste F ($P < 0,05$), e a regressão polinomial entre a RP e a produtividade da soja.



RESULTADOS E DISCUSSÃO

O tráfego de máquinas sobre o solo alterou as suas propriedades físicas até 25 cm de profundidade (T_1 – T_6) (Quadro 2). Essa compactação ocorreu em profundidade superior à de 7–18 cm, em que ocorre maior compactação em sistemas plantio direto, em solos tropicais cultivados com soja (Cardoso et al., 2006). Isso se deve ao fato de o solo ter sido revolvido até 30 cm de profundidade, na instalação do experimento, deixando-o solto e suscetível a uma compactação nas camadas inferiores, comparado a sistemas plantio direto durante alguns anos, em que o solo está mais estruturado e proporciona maior resistência à compactação, a qual não atinge as camadas mais inferiores.

O conteúdo de água gravimétrico entre T_1 – T_6 foi semelhante durante os dias avaliados, bem como o

valor médio durante o cultivo ($T_1 = 0,253$; $T_2 = 0,255$; $T_3 = 0,255$; $T_4 = 0,255$; $T_5 = 0,253$; e $T_6 = 0,253$), ocorrendo a mesma tendência no cultivo irri-

Com o teste F, verificou-se que a produtividade influenciada apenas pela compactação e pela compactação x irrigação ($p < 0,01$), cujos efeitos foram observados nas equações de regressão da R1, não influenciaram a produtividade de soja em função da irrigação, que ocorreu apenas no solo compactado (T_5 – T_6), devido à ocorrência de apenas poucos dias seguidos com conteúdo de água no solo, caracterizando-se com tensão de água $> 1,5$ MPa entre os dias 10 de janeiro e 7 de fevereiro, na camada de 0–10 cm, condição de sequeiro (Figura 1), o que é a causa de um pequeno déficit hídrico. Além disso, nessa condição, que se prolongou até o início do estádio R1, não houve crescimento (Fehr et al., 1971), as plantas

Quadro 2. Atributos físicos do Latossolo Vermelho eutroférico em diferentes camadas e números de passadas de trator

Atributo físico	Camada	Passadas de trator ⁽¹⁾				
		T_1	T_2	T_3	T_4	T_5
m						
	0,03–0,06	0,24 ± 0,00 ⁽²⁾	0,20 ± 0,01	0,14 ± 0,08	0,11 ± 0,04	0,07 ± 0,01
Macroporosidade ($m^3 m^{-3}$)	0,08–0,11	0,17 ± 0,05	0,19 ± 0,00	0,11 ± 0,02	0,09 ± 0,00	0,07 ± 0,00
	0,15–0,18	0,19 ± 0,00	0,14 ± 0,03	0,11 ± 0,01	0,09 ± 0,02	0,08 ± 0,02
	0,22–0,25	0,20 ± 0,03	0,11 ± 0,04	0,08 ± 0,03	0,05 ± 0,02	0,07 ± 0,00
	Média	0,20 ± 0,01	0,16 ± 0,02	0,11 ± 0,02	0,09 ± 0,01	0,07 ± 0,00
	0,03–0,06	0,36 ± 0,00	0,38 ± 0,01	0,41 ± 0,03	0,41 ± 0,02	0,43 ± 0,01
Microporosidade ($m^3 m^{-3}$)	0,08–0,11	0,38 ± 0,02	0,39 ± 0,00	0,42 ± 0,00	0,43 ± 0,00	0,42 ± 0,00
	0,15–0,18	0,39 ± 0,01	0,40 ± 0,00	0,42 ± 0,01	0,41 ± 0,01	0,42 ± 0,00
	0,22–0,25	0,37 ± 0,02	0,43 ± 0,01	0,43 ± 0,02	0,45 ± 0,01	0,43 ± 0,00
	Média	0,38 ± 0,01	0,40 ± 0,01	0,42 ± 0,01	0,43 ± 0,01	0,43 ± 0,00
	0,03–0,06	0,47 ± 0,34	0,39 ± 0,21	0,76 ± 0,43	1,11 ± 0,51	3,44 ± 0,35
Resistência à penetração (MPa) ⁽³⁾	0,08–0,11	0,29 ± 0,12	0,78 ± 0,32	0,81 ± 0,29	1,75 ± 0,31	2,43 ± 0,25
	0,15–0,18	0,37 ± 0,09	1,10 ± 0,04	0,83 ± 0,00	2,63 ± 0,82	2,49 ± 1,46
	0,22–0,25	0,37 ± 0,20	0,29 ± 0,12	2,08 ± 0,64	2,34 ± 0,43	2,45 ± 0,72
	Média	0,38 ± 0,08	0,64 ± 0,14	1,12 ± 0,26	1,96 ± 0,30	2,70 ± 0,36
	0,03–0,06	1,11 ± 0,03	1,14 ± 0,01	1,27 ± 0,02	1,33 ± 0,02	1,43 ± 0,01
Densidade do solo ($kg dm^{-3}$)	0,08–0,11	1,10 ± 0,02	1,16 ± 0,03	1,34 ± 0,02	1,40 ± 0,01	1,41 ± 0,01
	0,15–0,18	1,13 ± 0,01	1,22 ± 0,02	1,32 ± 0,02	1,37 ± 0,01	1,40 ± 0,02
	0,22–0,25	1,12 ± 0,02	1,19 ± 0,02	1,34 ± 0,02	1,41 ± 0,01	1,40 ± 0,02
	Média	1,12 ± 0,01	1,18 ± 0,01	1,32 ± 0,01	1,38 ± 0,01	1,41 ± 0,01

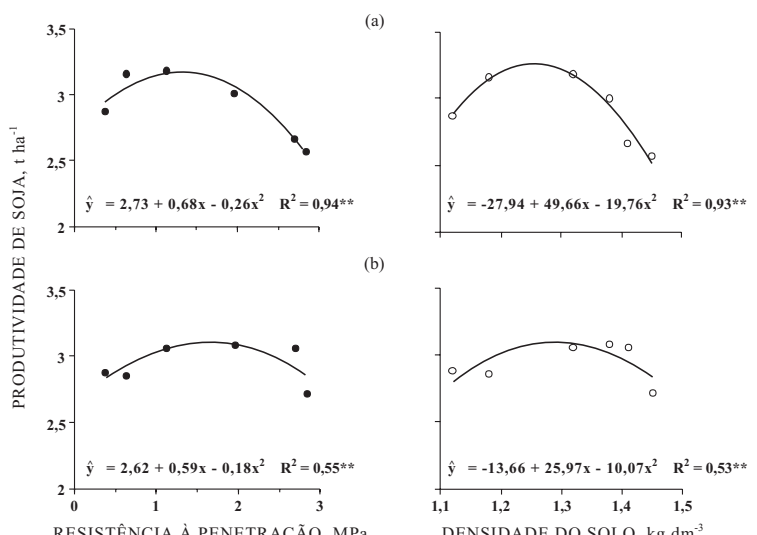
na fase vegetativa, necessitando de menos água, comparado à fase reprodutiva, em que o déficit hídrico causa decréscimos acentuados de produção.

O desdobramento da interação compactação x irrigação permitiu verificar que houve maior produtividade de soja no cultivo irrigado no T_5-T_6 , comparado ao cultivo de sequeiro (Figura 2). Nos cultivos de sequeiro e irrigado, a produtividade de soja diminuiu a partir da RP de 1,30 e 1,64 MPa e da Ds de 1,26 e 1,29 kg dm⁻³, respectivamente. Isso refletiu em perdas de 19,15 % de produtividade de grãos no cultivo de sequeiro, comparado a 11,71 % no cultivo irrigado, no maior nível de compactação (T_6 ; RP = 2,84 MPa; Ds = 1,45 kg dm⁻³).

Em relação à aeração, são necessários valores de macroporosidade (poros > 50 µm) > 0,10 m³ m⁻³ para que não ocorra restrição à respiração das raízes das plantas (Greenland, 1981). De fato, a partir do T_4 ocorreu macroporosidade < 0,10 m³ m⁻³ e decréscimo de produtividade, no cultivo de sequeiro (Quadro 2, Figura 2). Por sua vez, no cultivo irrigado, a produtividade foi semelhante, com valores de macroporosidade variando de 0,11 a 0,07 m³ m⁻³ (T_3-T_5), corroborando os resultados de Micucci & Taboada (2006). Estes autores verificaram que as raízes de soja cresceram em valores de macroporosidade consideravelmente menores que 0,10 m³ m⁻³, em razão da capacidade das raízes de aumentarem o diâmetro de poros durante o seu crescimento, ou quebrarem agregados do solo, quando neste prevalece condição adequada de umidade. Nesse contexto, McQueen & Shepherd (2002) sugerem valor mínimo de macroporosidade de 0,05 m³ m⁻³ em solos pouco drenados.

Estudos sobre difusão de oxigênio no solo mostram que a sua aeração é restritiva quando a porosidade e aeração do solo atinge valores < 0,10 m³ m⁻³, diminui a difusão de oxigênio e as trocas gaseosas no solo em níveis insuficientes para suprir as necessidades radiculares, causando prejuízos ao seu funcionamento e crescimento das plantas (Grable & Siemer, 1998). Todavia, Feng et al. (2002) verificaram que a aeração deve ser maior em solos mais argilosos, para que o adequado suprimento de oxigênio às plantas. Lepen et al. (2004) constataram que o crescimento das plantas de milho começou a decrescer a partir da perda de aeração de 0,25 m³ m⁻³, porém de forma acentuada a partir de 0,10 m³ m⁻³.

Entretanto, de forma geral, são aceitos valores de porosidade de aeração < 0,10 m³ m⁻³ como restritivos ao desenvolvimento radicular das raízes das culturas (Benjamim et al., 2003; Lepen et al., 2004). Verificou-se que o T_5 e o T_6 permitem inúmeros dias com a porosidade de aeração < 0,10 m³ m⁻³, resultando num valor médio de 0,11, e de 0,12 e 0,10 m³ m⁻³ no T_5 e T_6 , no cultivo de sequeiro e irrigado, respectivamente (Figura 2). Entretanto, convém destacar que, no cultivo irrigado, o decréscimo de produtividade de soja até o nível de T_4 e do T_5 ao T_6 ocorreu severo decréscimo, possivelmente ocorreu devido à maior definição da aeração no T_6 em relação ao T_5 , na segunda metade de janeiro e no início de fevereiro, em que ocorreram as três irrigações (Figura 1), período responsável pelas diferenças entre o sistema de cultivo de sequeiro e irrigado, em conformidade com Lepen et al. (2004). Esses autores verificaram que a baixa porosidade

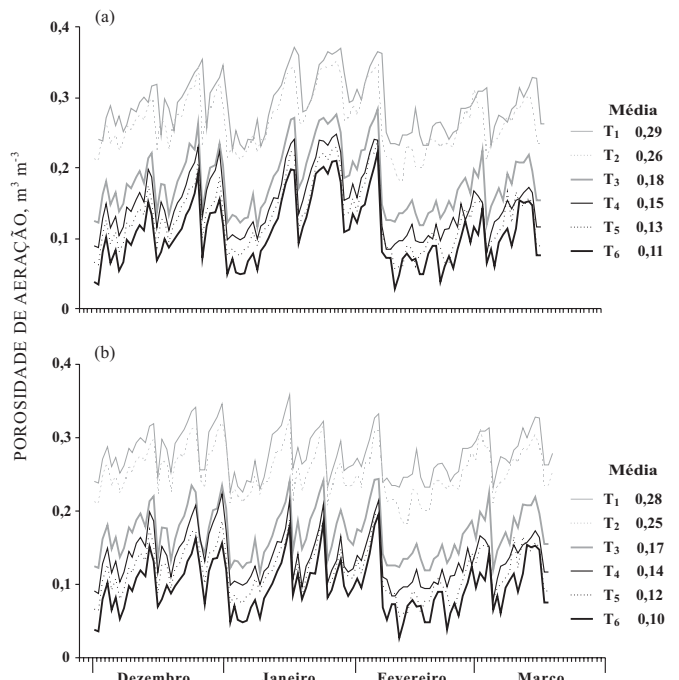


aeração por determinados períodos de tempo foi o fator determinante da menor produtividade de milho, sendo mais expressiva que a RP. Esses autores comprovaram ainda que a variabilidade da produtividade de milho esteve associada à quantidade de dias em que as plantas ficaram abaixo da porosidade de aeração mínima.

Em condições de deficiência de aeração, o menor desenvolvimento vegetativo é atribuído a algumas alterações nas plantas. Segundo Drew (1983), na deficiência de aeração às raízes ocorre redução do crescimento da parte aérea, devido à redução de auxinas, giberelinas e citoquininas, e acumulação de etileno e ácido abcísico. Ainda, há inibição na absorção e transporte de nutrientes em razão do menor crescimento radicular e da ineficiência da respiração anaeróbica em fornecer energia para absorção ativa de íons e em aumentar a permeabilidade da membrana das células das raízes.

A RP (na capacidade de campo), atributo em geral inversamente relacionado ao crescimento das plantas, foi limitante à produtividade de soja a partir de 1,30 e 1,64 MPa para a condição de cultivo de sequeiro e irrigado, respectivamente (Figura 2). Isso ocorreu pelo fato de que no cultivo de sequeiro o solo permaneceu vários dias com baixo conteúdo de água e alguns

abaixo do PMP, na camada de 0–20 cm, como que a RP das raízes é maior, visto que está em inversa com o conteúdo de água no solo (Liu et al., 2003). Esses valores são inferiores a 2,0 MPa encontrado na literatura como seco seletivo ao crescimento radicular e à produtividade de culturas anuais (Taylor et al., 1997; Jamin et al., 2003). Contudo, na hipótese de considerar o valor de 2,0 MPa, adotado na literatura como crítico, a produtividade de soja seria 17,75 % menor para condição de sequeiro e 14,88 % para irrigado, respectivamente. O maior decréscimo da produtividade da soja em sequeiro, comparado ao irrigado, está relacionado à elevada RP (Liu et al., 2003). Em solos com elevada RP, segundo Beutler et al. (2004) e Cardoso et al. (2006), há redução da eficiência do sistema radicular da soja, que se concentra na camada de 0–5 cm, na qual há menores conteúdos de água e, consequentemente, menor absorção de água e nutrientes, refletindo o decréscimo de produtividade. Resultados de um estudo de mesma natureza, foram encontrados por Beutler et al. (2005), que obtiveram valores de RP de 0,85 MPa para produtividade de 1,60 t/ha em sequeiro, em Latossolo Vermelho de textura média, com decréscimo de 5,18 % de produtividade a 2,0 MPa.



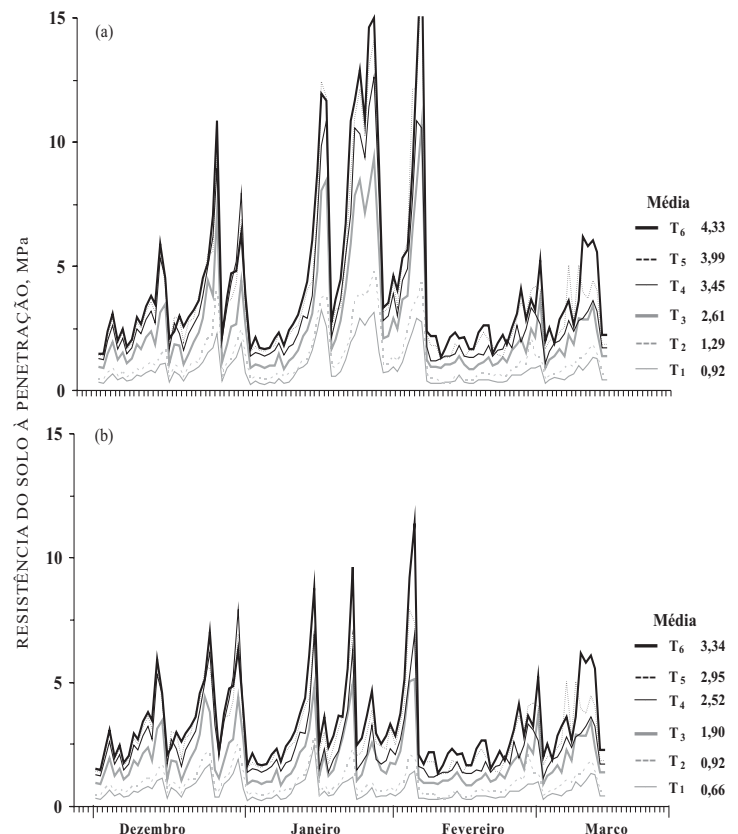


Figura 4. Resistência do solo à penetração durante o cultivo da soja em 2005/06, sequeiro (a) e irrigado (b), na camada de 0–20 cm, em Latossolo Vermelho eutroferrílico.

O decréscimo de produtividade em função da excessiva RP é desencadeado por diversas razões, entre as quais: redução do comprimento e da distribuição do sistema radicular; redução da absorção de água e nutrientes pelas raízes (Lipiec & Stepniewski, 1995); aumento da produção e concentração de ácido abscísico nas raízes e envio à parte aérea, induzindo a planta a diminuir seu crescimento (Mulholland et al., 1996); e maior demanda de carboidratos pelas raízes, resultando em menor alocação para a parte aérea (Tubeileh et al., 2003).

A Ds limitou a produtividade a partir de 1,26 e 1,29 kg dm⁻³ para soja cultivada em sequeiro e irrigado, respectivamente. Cardoso et al. (2006), também em Latossolo Vermelho muito argiloso, com macro e microporosidade semelhantes e em sistema plantio direto, observaram que a Ds de 1,32 kg dm⁻³ (camada de 0–25 m) não causou decréscimos significativos na produtividade de duas culturas de

de 0–5 cm, menos compactada, em função da de uma camada mais compactada de 8–11 cm, poderia causar decréscimos de produtividade mais secos.

Por sua vez, do T₁ ao T₄, em que a compactação avaliada pela RP e a Ds foram menores, não houve diferença de produtividade entre soja cultivada em sequeiro e irrigada. Esse fato permite inferir que o déficit hídrico isolado não causou decréscimo de produtividade quando o solo estava pouco compactado, condição em que, segundo Cardoso et al. (2006), a Ds é menor e a RP é melhor distribuída.

O IHO, que integra a porosidade de aeração e o conteúdo de água, teve como limite inferior de 0,66 kg dm⁻³. O decréscimo do IHO com a diminuição da Ds (Figura 5), corroborando estudos em climas tropicais (Beutler et al., 2005; Leão et al., 2005) e temperados (Silva et al., 1994; Benjamin et al., 2002). Contudo, nos estudos em que não se

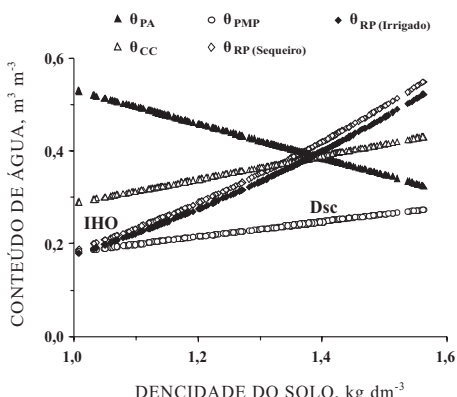


Figura 5. Limites críticos da porosidade de aeração (θ_{PA}), capacidade de campo (θ_{CC}), ponto de murcha permanente (θ_{PMP}) e resistência à penetração (θ_{RP}) em função da Ds. IHO: intervalo hídrico ótimo. $Dsc_{(IHO=0)}$, densidade do solo crítica.

O limite superior do IHO até a $Dsc_{(IHO=0)}$ foi a θ_{CC} , conforme resultados de estudos em solos de clima tropical (Beutler et al., 2005; Leão et al., 2006). Por outro lado, a partir de pequena compactação, em solos de clima temperado a θ_{PA} é o limite superior, reduzindo o IHO juntamente com a θ_{RP} , devido ao aumento da compactação (Benjamin et al., 2003).

Em solos tropicais, conteúdos de água acima da capacidade de campo podem não limitar o crescimento das plantas, exceto quando não existe aeração mínima para crescimento delas. Por outro lado, o limite inferior de água às plantas pode representar fator significante para o crescimento delas e causar decréscimos de produtividade de soja quando atingir valores inferiores a θ_{RP} , conforme também verificado por Beutler et al. (2005).

Na avaliação do IHO no monitoramento da qualidade física para soja nos cultivos de sequeiro e irrigado, foram inseridos os valores de RP de 1,30 e 1,64 MPa, obtidos no campo, como limitantes para produtividade de soja. Em ambos os casos, a θ_{RP} diminuiu o IHO até atingir a $Dsc_{(IHO=0)}$ o valor zero, quando o risco é de 100 % de as plantas serem expostas a condições adversas ao crescimento. A $Dsc_{(IHO=0)}$ foi de 1,33 e 1,38 kg dm⁻³ para a soja cultivada em sequeiro e irrigada, respectivamente, representando 3,23 e 2,68 % de perda de produtividade de soja se fosse utilizado o valor de $Dsc_{(IHO=0)}$ como valor crítico da produtividade. Em estudo de mesma natureza, Beutler et al. (2005), em Latossolo Vermelho de textura média, verificaram que a $Dsc_{(IHO=0)}$ de

CONCLUSÕES

1. O intervalo hídrico ótimo é eficiente para monitoramento da compactação e da qualidade do solo para soja em cultivos de sequeiro e irrigado.
2. A compactação excessiva do solo causa decréscimo de produtividade de soja e aumento da resistência à penetração de 1,30 e 1,64 kg dm⁻³, em solos de textura média e de densidade do solo de 1,26 e 1,29 kg dm⁻³, em Latossolo Vermelho eutrófílico muito argiloso.
3. A soja em cultivo irrigado tolera maior compactação.

AGRADECIMENTOS

À Fundação de Amparo a Pesquisa do Estado de São Paulo – FAPESP, pela concessão de bolsa de Doutorado ao primeiro e último autor e ao Coordenador da concessão de bolsa ao segundo autor.

LITERATURA CITADA

- AGRIANUAL 2006: anuário da agricultura brasileira. São Paulo – FNP Consultoria e Comércio, 2006. p. 1-100.
- BENJAMIN, J.G.; NIELSEN, D.C. & VIGIL, M.F. Effects of soil conditions on plant growth and production. *Geoderma*, 116:137-148, 2003.
- BEUTLER, A.N. & CENTURION, J.F. Compactação e resistência à penetração: efeitos na radiculação e na produtividade de soja. *Pesq. Agropec. Bras.*, 39:581-588, 2004.
- BEUTLER, A.N.; CENTURION, J.F. & SILVA, M. Resistance to penetration and least limiting water content for soybean yield in a haplustox from Brazil. *Biol. Technol.*, 48:863-871, 2005.
- BUSSCHER, W.J. Adjustment of flat-tipped penetrometer resistance data to a common water content. *Soc. Agric. Eng.*, 33:519-524, 1990.
- CARDOSO, E.G.; ZOTARELLI, L.; PICCININ, J.L.; SARAIVA, O.F. & GUIMARÃES, M. Resistência à penetração da soja em função da compactação e da resistência à penetração. *Pesq. Agropec. Bras.*, 41:111-116, 2006.
- COLLIS-GEORGE, N. Relationship between air permeabilities in porous media. *Soil Sci.*, 67:1953.
- DORAN, J.W. & PARKIN, R.B. Defining soil texture. *Soil Sci. Soc. Am. J.*, 47:1011-1016, 1983.

- DREW, M.C. Plant injury and adaptation to oxygen deficiency in the root environment. *Plant Soil*, 75:179-199, 1983.
- FEHR, W.R.; GAVINESS, C.E.; BURMOOD, D.T. & PENNINGTON, J.S. Stage of development description for soybeans (*Glycine max* (L.) Merrill). *Crop Sci.*, 11:929-931, 1971.
- FENG, G.; WU, L. & LETEY, J. Evaluating aeration criteria by simultaneous measurement of oxygen diffusion rate and soil-water regime. *Soil Sci.*, 197:495-503, 2002.
- GRABLE, A.R. & SIEMER, E.G. Effects of bulk density, aggregate size, and soil water suction on oxygen diffusion, redox potential and elongation of corn roots. *Soil Sci. Soc. Am. J.*, 32:180-186, 1968.
- GREENLAND, D.J. Soil management and soil degradation. *J. Soil Sci.*, 32:301-322, 1981.
- LAPEN, D.R.; TOPP, G.C.; GREGORICH, E.G. & CURNOE, W.E. Least limiting water range indicator of soil quality and corn production, eastern Ontario, Canada. *Soil Till. Res.*, 78:151-170, 2004.
- LEÃO, T.P.; SILVA, A.P.; MACEDO, M.C.M.; IMHOFF, S. & EUCLIDES, V.P.B. Least limiting water range: A potential indicator of changes in near-surface soil physical quality after the conversion of Brazilian Savanna into pasture. *Soil Till. Res.*, 88:279-285, 2006.
- LETEY, J. Relationship between soil physical properties and crop production. *Adv. Soil Sci.*, 1: 277-294, 1985.
- LIPIEC, J. & STEPNIOWSKI, W. Effects of soil compaction and tillage systems on uptake and losses of nutrients. *Soil Till. Res.*, 35:37-52-1995.
- MCQUEEN, D.J. & SHEPHERD, T.J. Physical changes and compaction sensitivity of a fine-textures, poorly drained soil (Typic Endoaquept) under varying durations of cropping Manawatu Region, New Zealand. *Soil Till. Res.*, 63:93-107, 2002.
- MICUCCI, G.F. & TABOADA, M.A. Soil physical and soybean (*Glycine max*, Merrill) root ability in conventionally and zero-tilled soils in the humid area of Argentina. *Soil Till. Res.*, 86:152-162, 2000.
- MULHOLLAND, B.J.; BLACK, C.R.; TAYLOR, I.B.; J.A. & LENTON, J.R. Effect of soil compaction on (*Hordeum vulgare* L.) growth. I. Possible role of a root-sourced chemical signal. *J. Exper. Bot.*, 50:549, 1999.
- RAIJ, B. van; CANTARELLA, H.; QUAGGIA, F.; FURLANI, A.M.C. Recomendação de adubação para o estado de São Paulo. 2.ed. Campinas: Agronômico & Fundação IAC, 1996. 285 p.
- REICHARDT, K. Capacidade de campo. R. Bras. Ci. Soils, 12:216, 1988.
- REICHERT, J.M.; REINERT, D.J. & BRAIDA, J.A. dos solos e sustentabilidade de sistemas agro-ambientais. *Rev. Bras. Ci. Soils*, 27:29-48, 2003.
- SAS/SAS/STAT: Procedure guide for personal computers. Version 5. Cary, 1998. 1042p.
- SAVAGE, M.J.; RITCHIE, J.T.; LAND, W.L. & DUNN, J. Lower limit of soil water available. *Agron. J.*, 88:1996.
- SILVA, A.P.; IMHOFF, S. & KAY, B. Plant response to mechanical resistance and air-filled porosity of a conventional and no-tillage system. *Sci. Agric.*, 61:456, 2004.
- SILVA, A.P.; KAY, B.D. & PERFECT, E. Characteristics of the least limiting water range. *Soil Sci. Soc. Am. J.*, 58:1775-1781, 1994.
- TAYLOR, H.M.; ROBERSON, G.M. & PARKER, J. Root strength-root penetration relations to medium textured soil materials. *Soil Sci.*, 102:18-22, 1996.
- TUBEILEH, A.; GROLEAU-RENAUD, V.; PLANT, J. & GUCKERT, A. Effect of soil compaction on photosynthesis and carbon partitioning with a root system. *Soil Till. Res.*, 71:151-161, 2003.